



Sci. and Tech. note

یادداشت علمی و فنی

طراحی هدف تبدیلکننده الکترونهای پرانرژی به پرتوهای ایکس

فرهود ضیایی*

مرکز تحقیقات و کاربرد پرتو فرایند یزد، صندوق پستی: ۸۹۱۷۵-۲۸۹، یزد - ایران

واژه های کلیدی: هدف تبدیلکننده، الکترونهای پرانرژی، پرتوهای ایکس، کد کامپیوتری EGS4، اندازه گیری توزیع ذر، باریکه الکترون

Design of High Energy Electron / X-Rays Conversion Target

F. Ziaie*, H. Afarideh

Yazd Radiation Processing Center, P.O. Box: 89175-389, Yazd - Iran

Abstract: In this work the design of a target converting high energy electrons to bremsstrahlung x-ray is described. The system has been optimized for different energy of the accelerated electron beam, using the EGS4 Monte-Carlo computer code. For this purpose the thickness of the layers in the target, including the main converter, cooling and lower layer (for the energy spectrum tuning), suitable to the desired and practical conditions have been obtained. In order to evaluate the calculated results, measurements have been carried out for the same geometry using the x-ray converter target, for 2MeV, 5MeV and 10 MeV electron beam. It is shown that the calculated data are in good agreement with the experimental results.

Keywords: conversion target, high energy electron, x-ray, EGS4 computer code, dose distribution measurement, electron beam

۱- مقدمه

تشکیل شده است [۲]. در این مجمع متخصصین امور، اصلاحاتی را در مقررات بین‌المللی وضع شده توسط UNO^(۲) در مورد استفاده از انرژی بیش از ۵ MeV برای تولید پرتوهای ایکس عرضه داشتند [۳].

۲- دستگاه پرتووده

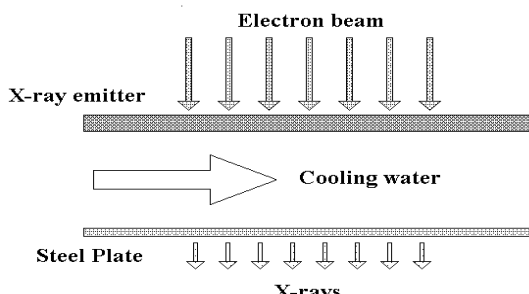
دستگاه پرتووده مورد استفاده در این پژوهش، یک ستاده‌نده الکترون از نوع رودوترون مدل TT-200 است، که قادر به تولید باریکه جاروب‌شونده الکترون (بیشینه پهنای جاروب ۱۰۰ cm با بسامد ۱۰۰ Hz) با انرژیهای ۵ و ۱۰ مگاالکترون ولت و بیشینه توان ۸۰ kW است. به منظور پرتووده مواد، این ستاده‌نده به یک سیستم تسمه نقاله با سرعت متغیر مجهز شده است.

-۳ ساختار اصلی هدفهای تبدیل‌کننده

ساختار کلی یک هدف تبدیل‌کننده برای تولید پرتوهای ایکس، عموماً از سه جزء اصلی تشکیل شده است که عبارتند از: لایه تبدیل‌کننده یا گسیلنده پرتوهای ایکس، مجرای عبور آب خنک‌کننده، لایه تحتانی فولادی (شکل۱). برای طراحی دقیق شکل هندسی چنین دستگاهی آگاهی از شکل تغییرات توزیع ذر در مقطع باریکه الکترون در دو سوی جاروب باریکه، جهت حرکت تسمه نقاله و توزیع عمقی ذر در یک ماده مرجع به عنوان محصول تحت تابش و مفروضات اولیه در مورد باریکه ضروری است. بنابراین پیش از انجام عمل طراحی، آزمایشها یی تحت عنوان بررسی یکنواختی باریکه الکترون انجام شده است [۴].

۴- طراحی لایه تبدیل‌کننده

در طراحی لایه تبدیل‌کننده، نکته اصلی بیشینه‌سازی بازده تبدیل الکترونها به پرتوهای ایکس است بگونه‌ای که هیچ



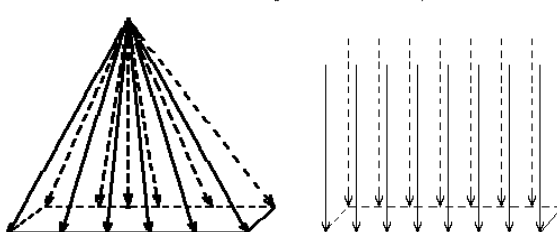
در سالهای اخیر همزمان با راه اندازی و شروع به کار ستاده‌نده الکترون، از نوع رودوترون^(۱) در مرکز پرتو فرایند یزد، فرایند پرتووده به وسیله باریکه الکترون در ایران معرفی شده است. پرتوهای تابش ترمی تولید شده در اثر توقف الکترون‌های پرانرژی، از سالها پیش به عنوان جایگزین مناسبی برای پرتوهای گاما می‌حاصل از "کیالت-۶۰" پیشنهاد شده است [۱]. قابلیت نفوذ بسیار زیاد فوتونهای تولید شده در اثر فرایند تابش ترمی به منظور پرتووده مواد چگال، توجه تعدادی از پژوهشگران را بخود جلب کرده است، جایی که پرتوهای الکترونی تنها در مورد مواد دارای ضخامت کم و چگالی پایین، قابل بهره برداری هستند. بیشینه انرژی پرتوهای ایکس تابش ترمی، برابر انرژی بیشینه الکترون‌های فرودی است. این انرژی ممکن است با توجه به نوع کاربرد و تندي، ذر جذبی متوسطی حدود ۱۰۰ برابر بزرگتر از چشمۀ های پرتوگامای تولید نماید. بطور کلی از مزایای بکار بردن پرتوهای ایکس تابش ترمی می‌توان به مواردی از جمله امکان پرتووده مواد ضخیم، تندي ذر بالا، گسیل باریکه ناهمسانگرد (رو به جلو)، در مقایسه با گسیل همسانگرد پرتوهای گاما، امکان استفاده از آن در ستاده‌نده‌های الکترون مورد نیاز به عنوان سیستم مکمل، در خاموش کردن چشمۀ به هنکام عدم نیاز اشاره کرد. در کلیه ابزارهای فرایند پرتووده، انرژی پرتوها بگونه‌ای محدود می‌گردد که در محصلات تحت تابش، هیچگونه رادیوآکتیویته ای بوجود نیاید. بدین جهت تاکنون تحت استانداردهای بین‌المللی بیشینه انرژی فوتونها MeV ۵ و در مورد الکترونها MeV ۱۰ تعیین شده بود. اکنون به منظور توسعه صنعت استفاده از ماشینهای مولّد پرتو ایکس در پرتووده مواد غذایی یک مجمع مشاورۀ بین‌المللی در وین



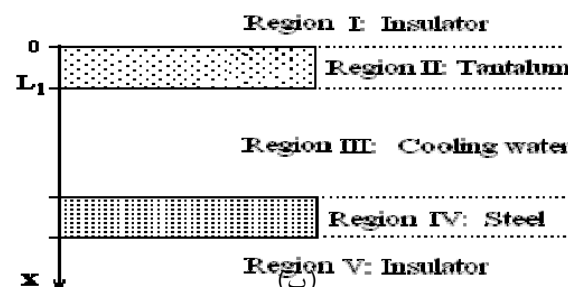
۱-۴ شبیه سازی شکل باریکه الکترون در کلیه محاسبات انجام شده توسط پژوهشگران، باریکه الکترون به صورت عمود بر سطح شبیه سازی شده است (شکل ۲-الف). در این کار، علاوه بر حالت نامبرده، شکل واقعی باریکه الکترون، یعنی باریکه خروجی از دماغه جاروب (شکل ۲-ب) نیز شبیه سازی شده است.

شکل ۳ توزیع ڈر محاسبه شده در جهت جاروب باریکه را برای الکترونها و پرتوهای ایکس در دو حالت نامبرده مورد مقایسه قرار میدهد. از روی این شکلها بوضوح اختلاف بین حالت واقعی یعنی فرود غیر عمودی و حالت فرضی فرود عمودی الکترونها ملاحظه می گردد. بنابراین برای انجام دادن کلیه محاسبات بعدی از این شبیه سازی استفاده شده است.

۲-۴ شبیه سازی هندسه دستگاه پرتوودی و محاسبه توزیع ڈر جذبی دستگاه پرتوودی مورد نظر بر اساس ابعاد و نحوه قرارگیری فانتموم های تهیه شده بر روی تسمه نقاله ویژه باریکه های الکترون و ایکس طراحی می شود. در این بخش، ابتدا فضای مورد نیاز جهت بررسی تراپُرد ڈر رات تعریف، سپس به حجم های واحد در سه جهت x , y و z تقسیم بندی می شود. شکل ۴ وضعیت فضای تراپُرد شامل کلیه عناصر و ترکیبات در برگیرنده از جمله هو را نسبت به دماغه جاروب الکترون نمایش میدهد. بمنظور بهینه سازی لایه تبدیل کننده، ضخامت لایه های آب و استیل ثابت در نظر گرفته شده اند و محاسبه بازده تبدیل یا کسر انرژی جذب شده در فانتموم با افزایش ضخامت لایه Ta، شروع از مقدار صفر با گامهای ثابت انجام پذیرفت. شکل ۵ تغییرات بازده تبدیل الکترون های با انرژی متفاوت به پرتوهای ایکس را در مقابل ضخامت های مختلف لایه تانتالیوم نشان میدهد.



(الف)



Region V: Insulator

شکل ۱- نمایی از ساختار هدفهای تبدیل کننده الکترون- ایکس و نمایش نواحی تشکیل دهنده آن. الکترونی از هدف عبور نکند. بازده تبدیل عبارت است از نسبت کسر انرژی پرتوهای ایکس جذب شده در محصول به کسر انرژی الکترون های جذب شده در آن در حالت عدم وجود هدف، تحت شرایط یکسان فیزیکی و هندسی. در این مورد عوامل مؤثر در بازده تبدیل یک هدف تبدیل کننده عبارتند از انرژی الکترون های فرودی و عدد اتمی عنصر تشکیل دهنده لایه تبدیل کننده [۵]. در انتخاب یک عنصر به عنوان لایه تبدیل کننده، وجود شرایط ویژه ای از جمله بازده تبدیل کافی، مقاومت در برابر خوردگی، مقاومت در برابر تنشهای حرارتی تولید شده در اثر تابش، مقاومت در برابر تنشهای مکانیکی وارد شده حاصل از فشار آب خنک کننده و تورق پذیری ضروری است. از بین عناصر موجود در طبیعت عنصر تانتالیوم به دلیل خاصیت تورق پذیری خوب، قیمت کمتر (نسبت به طلا) و مقاوم بودن در برابر تنشهای حرارتی و مکانیکی، بیشتر بکار می رود. در این کار پژوهشی، بنا به دلایل ذکر شده و به منظور استفاده از تانتالیوم در هدفهای در دسترس، که نتایج حاصل از آنها می بایست با نتایج محاسباتی مقایسه شوند، کلیه محاسبات با استفاده از کد محاسباتی EGS4 و طراحی برنامه کار برابر بر روی عنصر تانتالیوم انجام گرفته است.

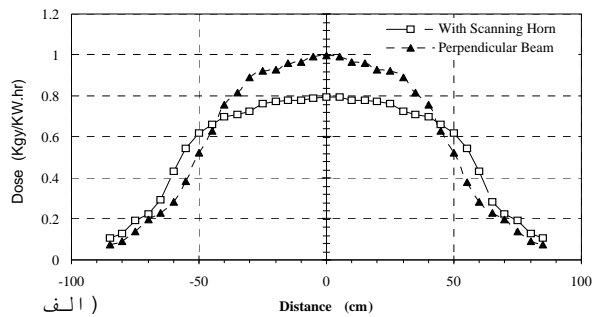


شکل۵- نمودارهای تغییرات بازده تبدیل الکترون بر حسب ضخامت‌های مختلف لایه تبدیل‌کننده تانتالیوم بطوری که مشاهده می‌شود، روند تغییرات نمودارها بطور کلی سه ناحیه را شامل می‌شود. در مورد الکترون‌های با انرژی $2/5$ و 10 مگا الکترون ولت، افزایش ضخامت لایه تبدیل‌کننده تانتالیوم از مقدار صفر، ابتدا موجب کاهش بازده تبدیل می‌گردد. ولت این کاهش کافی نبودن ضخامت کل هدف برای جذب کامل انرژی الکترونها و در نتیجه عبور آن از مجموعه هدف است. با افزایش ضخامت لایه تبدیل‌کننده، از اثر الکترون‌های عبوری کاسته شده و از یک نقطه به بعد کل انرژی الکترون در هدف جذب می‌شود. سپس بازده تبدیل با افزایش ضخامت شروع به افزایش خواهد نمود. در این ناحیه در اثر برهم‌کنش‌های مکرر تابش ترمیزی، پرتوهای ایکس تولید می‌گردد. هر چه ضخامت لایه تبدیل‌کننده افزایش می‌یابد الکترون‌های ثانویه نیز در این محیط باقی مانده و پرتوهای ایکس بیشتری تولید می‌شود. از طرفی در این ناحیه پرتوهای ایکس تولید شده قادر به عبور بوده و کمتر در خود لایه جذب می‌گردد. این افزایش تا زمانی ادامه دارد که یک موازنۀ بین تولید و جذب پرتوهای ایکس حاصل شود. از نقطه ماکزیمم منحنی به بعد که ناحیه سوم را تشکیل می‌دهد افزایش لایه تبدیل‌کننده موجب خود جذبی پرتوهای ایکس شده که از میزان بازده تبدیل خواهد کاست. لذا میان بین ناحیه‌های دوم و سوم، ضخامت بهینه لایه تبدیل‌کننده را که دارای بازده تبدیل بیشینه است، تشکیل می‌دهد.

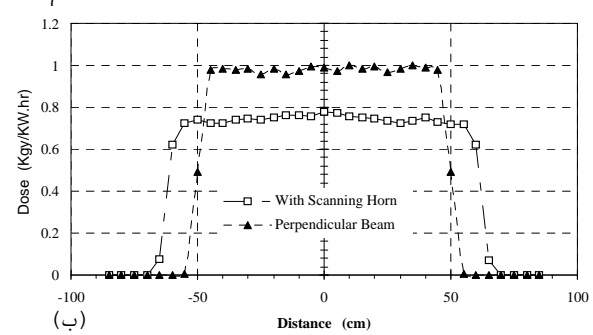
۵- تنظیم طیف انرژی پرتوهای ایکس کمیت دیگری که در شکل توزیع ذُر جذبی در ماده نقش مؤثّری دارد، طیف انرژی فوتون‌های گسیلی است.

(ب)

شکل۶- شکلهای هندسی باریکه الکترون‌های فرودی؛ (الف) باریکه موازی، (ب) به شکل سیستم دماغه جاروب الکترون

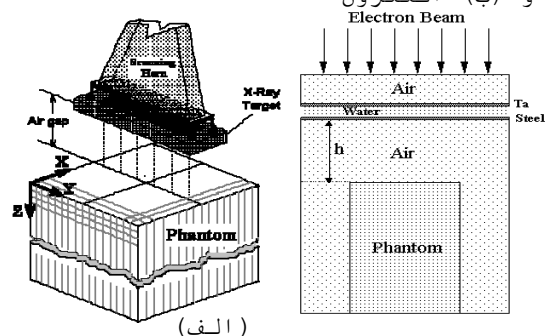


(الف)



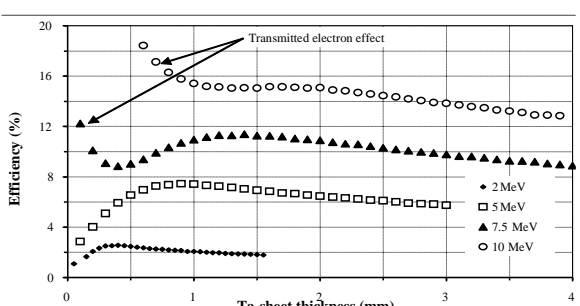
(ب)

سیستم دماغه جاروب برای سیستمهای راستایی جاروب برای حالات باریکه تابنده عمودی و هدایت شده تحت سیستم جاروب الکترون. (الف) برای پرتوهای ایکس 10 MeV و (ب) الکترون



(ب)

شکل۷- نمایش فضای تراپرد درنظر گرفته شده برای انجام محاسبات؛ (الف) نمای روبروی لایه‌های فضائی تراپرد؛ (ب) طرح سه بعدی سیستم پرتوهای





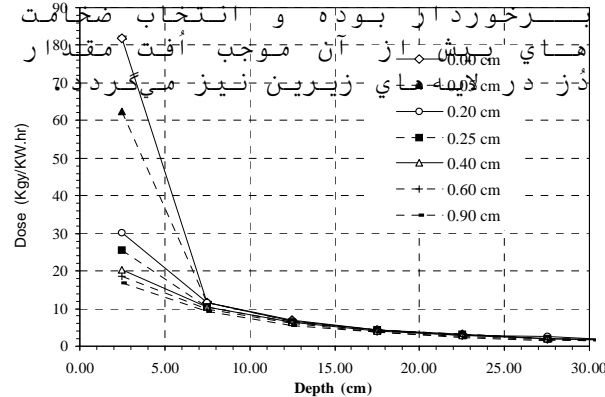
شکل ۷- منحنی های توزیع δ -عمق پرتوهاي ایکس MeV در ضخامت های متفاوت لایه استیل

۶- اندازه گیری توزیع δ -عمق
 برای اندازه گیری مقدار δ -عمق جذبی در حجم مواد، فانتوم هایی از جنس آب، پلی اتیلن و چوب بکار رفته اند. اندازه گیری هایی مربوط به فانتوم آب تحت تابش الکترون های 2MeV انجام گرفته اند. همچنین فانتوم های چوبی و پلی اتیلنی بکار رفته به صورت ورقه هایی با ابعاد $40\text{cm} \times 80\text{cm}$ به ضخامت های 0.05m ، 0.1m و 0.2m ساخته شده اند. بکار بردن این متر مکعب بوده اند. بکار بردن این گونه فانتوم ها، امکان تعییه فیلم δ -زمیتر های CTA را در لایه ای 0.1m می سازد. δ -زمیتر های CTA به صورت متقطع در عمق های متفاوت، در جهت های حرکت تسمه نقاله و جاروب الکترونی قرار گرفته و در نتیجه امکان اندازه گیری توزیع δ -عمق به صورت سه بعدی را در حجم فانتوم فراهم می سازد. از طرف دیگر با رسم نمودار تغییرات δ -عمق نسبت به عمق فانتوم در راستای محور مرکزی باریکه می توان به نمودار توزیع δ -عمق دست یافته.

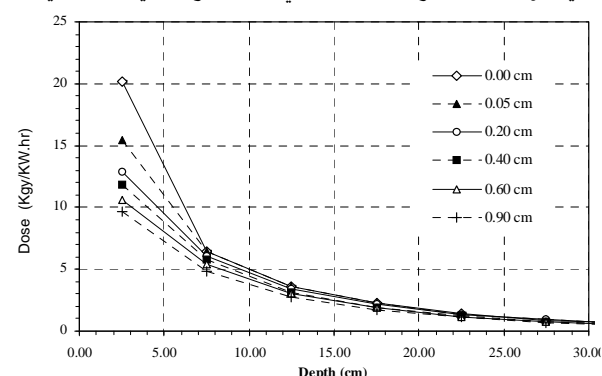
شکلهای ۸ و ۹ منحنی های توزیع δ -عمق محاسبه شده و اندازه گیری شده برای باریکه الکترونی 0.1m و 0.2m که در فانتوم پلی اتیلن اند. همچنین منحنی های توزیع δ -عمق محاسباتی و تجربی در مورد پرتوهاي ایکس با این اندرژی ها برای مقایسه، در شکلهای ۱۰ و ۱۱ نشان داده شده است. در این شکلهای داده های محاسباتی به وسیله روشهای آنالیز عددی با چند جمله ای های دارای درجه مناسب برآرازش داده شده است.

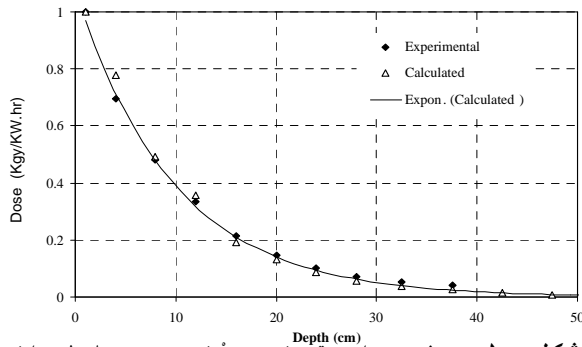
دلیل این امر تناسب عمق نفوذ متفاوت فوتوونها با اندرژی آنها است. بنابراین، با توجه به اهمیت کنترل نسبت یکنواختی δ -ز در جسم، طیف اندرژی حاصل باید بگونه ای تنظیم شود که شکل منحنی δ -عمق پرتوهاي ایکس در محصول تا حد امکان دارای روند کاهشی کندي باشد. این مسئله با بهینه سازی ضخامت لایه تحتانی استیل قابل کنترل است.

برای ایجاد کاهش یکنواخت در منحنی δ -عمق، برنامه کاربر برای ضخامت های مختلف لایه تحتانی استیل اجرا و در هر بار، تغییرات δ -عمق محاسبه می شود. شکل های ۶ و ۷ توزیع های δ -عمق را برای ضخامت های متفاوت لایه استیل در مورد اندرژی های 0.1m و 0.2m الکترون ولت نشان میدهدن. بطوريکه ملاحظه می شود، بدون حضور لایه مذکور، اندرژی جذب شده در لایه اول فانتوم نسبت به لایه های زيرین به شدت بالاست و با افزایش ضخامت لایه استیل این مقدار افت كرده و یکنواختی بيشتری در توزیع δ -عمق ایجاد مينماید، به طوري که در ضخامت های حدود $0.2-0.4\text{m}$ برای اندرژی 0.1m و 0.2m منحنی از یکنواختی قابل قبولی

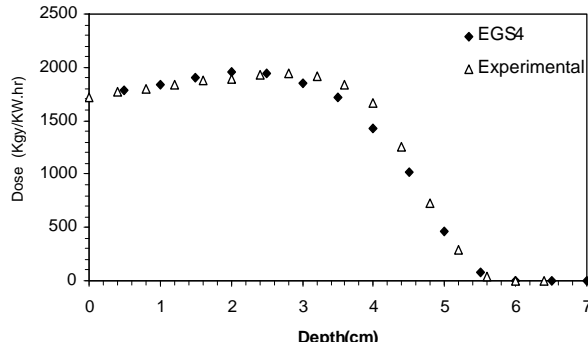


شکل ۶- منحنی های توزیع δ -عمق پرتوهاي ایکس 10MeV در ضخامت های متفاوت لایه استیل

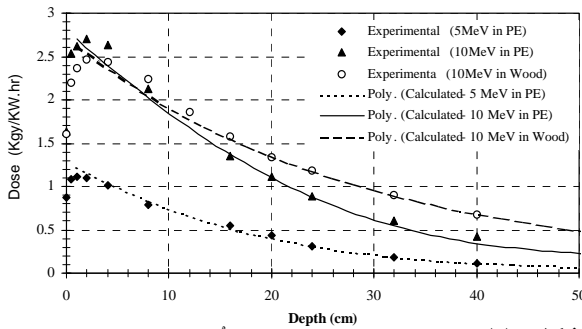




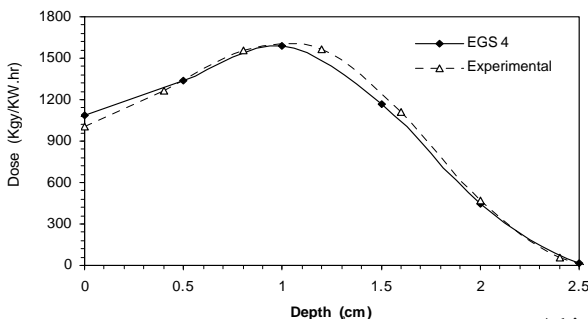
شکل ۱۰- نمودار توزیع دُز-عمق حاصل از نتایج محاسباتی و تجربی در فانتوم آب تحت تابش پرتوهای ایکس ۲MeV



شکل ۸- نمودار توزیع دُز-عمق حاصل از نتایج محاسباتی و تجربی در فانتوم پلی اتیلن تحت تابش باریکه الکtronها ۱۰MeV



شکل ۱۱- نمودار توزیع دُز-عمق حاصل از نتایج محاسباتی و تجربی در فانتوم‌های پلی اتیلن و چوب تحت تابش پرتوهای ایکس ۵ و ۱۰ MeV



شکل ۹- منحنی دُز-عمق حاصل از نتایج محاسباتی و تجربی در فانتوم پلی اتیلن تحت تابش باریکه الکtronها ۵MeV

۷- نتیجه‌گیری

در این پژوهش پس از انجام محاسبات بروش مونت کارلو با بکارگیری کد EGS4، ضخامت لایه‌های بهینه هدف تبدیل‌کننده تعیین گردید. به منظور اطمینان یافتن و تایید نتایج محاسباتی، توزیع دُز در جهات مختلف بر سطح و درون مواد، اندازه‌گیری و با نتایج محاسباتی مقایسه، و توافق کامل در آنها مشاهده شد. پس از کسب اطمینان از صحت نتایج محاسباتی، مقادیر بهینه ضخامت لایه‌های هدف تبدیل‌کننده به شرح مندرج در جدول ۱ ارائه شده‌اند. بر این اساس با استفاده از برنامه کاربر تهیه شده می‌توان محاسبات نامبرده را برای انرژی‌های متفاوت پرتوهای الکترونی، همچنین با در نظر گرفتن مواد مختلف به عنوان جاذب انجام داده و پیش از انجام اندازه‌گیری و صرف هزینه، نتایج

آن را تا حد قابل قبولی پیش بینی نمود.

جدول ۱- نتایج عددی محاسبات انجام شده

۱۰ MeV	۵ MeV	پارامترهای مورد محاسبه
mm ۱/۷۵	۱ mm	ضخامت بهینه لایه تبدیل‌کننده
۴ mm	۲ mm	ضخامت بهینه لایه استیل

تشکر و قدردانی
بدینوسیله مراتب تشکر و قدردانی خود را از همکاران محترم گروه دَزیمتری و کارگردانی شتابدهنده مرکز یزد به ویژه آقایان مهندس تهامی و مهندس پورصالح اعلام می‌دارد.

پی‌نوشت‌ها :

۱- Rodotron

۲- UNO (FAO, WHO, IAEA) Regulation



References:

1. H.W. Koch and E.H. Eisenhower, National Research Council Publication 1273 (1958).
2. International consultant's Meeting on the Development of x-ray Machine for Food Irradiation, Viena, 16-18 (Oct 1995).
3. WHO Technical Report, No. **659**, Gneva (1981).
4. F. Ziaie, H. Afarideh, S. M. Hadji-Saeid, S. A. Durrani, "Investigation of beam uniformity in industrial electron accelerator," Radiation Measurement, Vol 34, No. **1-6**, 609-613 (2001).
5. WHO Technical Report, No. **659**, Gneva (1981).
6. F. Ziaie, H. Afarideh, S. M. Hadji-Saeid, S. A. Durrani, "Investigation of beam uniformity in industrial electron accelerator," Radiation Measurement, Vol 34, No. **1-6**, 609-613 (2001).
7. W. Migdal, Study on application of e/x conversion for radiation processing, NUKLEONIKA, Vol. 41, No. **3**, 57-63 (1996).
8. F. Ziaie, Z. Zimek, S. Bulka, H. Aferideh, S. M. Hadli-Saeid, "Calculated and measured dose distribution in electron and x-ray irradiated water phantom," Radiat. Chem. Phys., Vol. 63, No. **2**, 177-183 (2002).